

Az ETG-tenzor Cezzek-féle ábrázolása

A $g(\underline{r})$ töltéeloszlású magra ható elektro-
statikus potenciál: $\phi(\underline{r})$

Az elektrosztatikus kölcsönhatási energia:

$$\begin{aligned} E_e &= \int g(\underline{r}) \phi(\underline{r}) d^3\underline{r} = \\ &= \underbrace{\phi(0) \int g(\underline{r}) d^3\underline{r}}_{Ze} + \frac{1}{2} \sum_{\alpha, \beta} \phi_{\alpha\beta}(0) \int g(\underline{r}) x_\alpha x_\beta d^3\underline{r} + \dots \end{aligned}$$

$$\text{ETG: } V_{\alpha\beta}(\underline{r}) := \phi_{\alpha\beta}(\underline{r}) - \frac{1}{3} \left(\sum_{\gamma} \phi_{\gamma\gamma}(\underline{r}) \right) \delta_{\alpha\beta}$$

$\sum_{\alpha} V_{\alpha\alpha} = 0$

$\Delta\phi(\underline{r}) = -\frac{1}{\epsilon_0} \sigma(\underline{r})$

$$\begin{aligned} E_e &= \phi(0) Ze - \frac{1}{6\epsilon_0} \sigma(0) \int r^2 g(\underline{r}) d^3\underline{r} + && E_0 \\ &+ \frac{1}{2} \sum_{\alpha, \beta} V_{\alpha\beta}(0) \underbrace{\int g(\underline{r}) (x_\alpha x_\beta - \frac{r^2}{3} \delta_{\alpha\beta}) d^3\underline{r}}_{\frac{e}{3} Q_{\alpha\beta}} + && E_Q \end{aligned}$$

A mag kvadrupólusnyomaték-tenzora:

$$Q_{\alpha\beta} := \frac{1}{e} \int g(\underline{r}) (3x_\alpha x_\beta - r^2 \delta_{\alpha\beta}) d^3\underline{r}$$

$\phi_{\alpha\beta}$ szimmetrikus (Young-tétel)



$V_{\alpha\beta}$ szimmetrikus



$V_{\alpha\beta}$ diagonalizálható

$V_{\alpha\beta}$ főtengeley-rendszerében:

$$E_Q = \frac{e}{6} \sum_{\alpha} V_{\alpha\alpha} Q_{\alpha\alpha}$$

$$V_{\alpha\beta} = \begin{pmatrix} V_1 & 0 & 0 \\ 0 & V_2 & 0 \\ 0 & 0 & V_3 \end{pmatrix}$$

$$V_1 + V_2 + V_3 = 0$$

Eddig a kifejezések a koordinátákban szimmetrikusak voltak. **Most rontjuk el!**

V_1, V_2, V_3 közül az egyiktől szabadulni akarunk. De ezért feláldozzuk a szimmetriát!

A két független paraméter:

$$\eta = \frac{V_{xx} - V_{yy}}{V_{zz}}$$

A tengelyek választása:

- $|V_{zz}| \geq |V_{yy}| \geq |V_{xx}|$
- (x, y, z) jobbsodrású

$$V_{\alpha\beta} = \begin{pmatrix} -\frac{1}{2}(1-\eta) & 0 & 0 \\ 0 & -\frac{1}{2}(1+\eta) & 0 \\ 0 & 0 & 1 \end{pmatrix} V_{zz}$$

Következmény: a (V_1, V_2, V_3) -tér leképezése a (V_{zz}, η) -síkra **nem folytonos!** A (V_1, V_2, V_3) -térben egymáshoz közeli pontok a (V_{zz}, η) -síkon távol kerülhetnek egymástól, ugyanakkor a (V_{zz}, η) -sík két látszólag közeli pontja a (V_1, V_2, V_3) -térben két távoli pont lehet. \Rightarrow A (V_{zz}, η) -sík nem alkalmas az ETG-tenzor eloszlásának leírására.

$\eta = 1$ esetén V_{zz} előjelének nincs értelme; ez a (V_{zz}, η) síkon nem látnék.

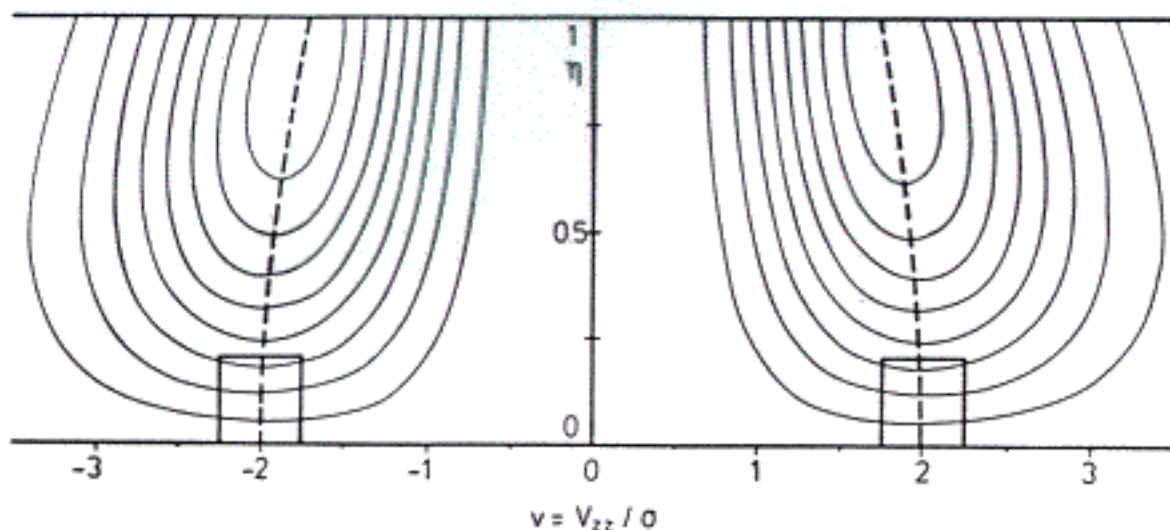


Fig.1. Contour map of the probability density, $P(v, \eta)$, eq.(5), with $\beta = 0$, $v = V_{zz}/\sigma$, corresponding to a randomly packed structure in conventional presentation. Intervals between contour lines: $\delta P = 0.05$. $P = 0$ along the lines $v = 0$ and $\eta = 0$. The dashed line marks the ridge of $P(v, \eta)$ formed by the points (v, η) with $v = 2(1 + \frac{1}{3}\eta^2)^{-1/2}$. At these points $|\partial P / \partial v|_{\eta = \text{const}} = 0$. The squares indicate schematically results reported in ref.[4] for some amorphous Eu alloys.

Hogyan jellemezzük az ETG-tenzor eloszlását pl.

- rendezetlen kristályban,
- fémüvegben,
- amorf oxidban,
- lefagyasztott oldatban,
stb. ?

Fizikailag nem értelmezhető eloszlások:

$$P(V_{zz})$$

$$P(V_{zz} \sqrt{1 + \frac{\eta^2}{3}})$$

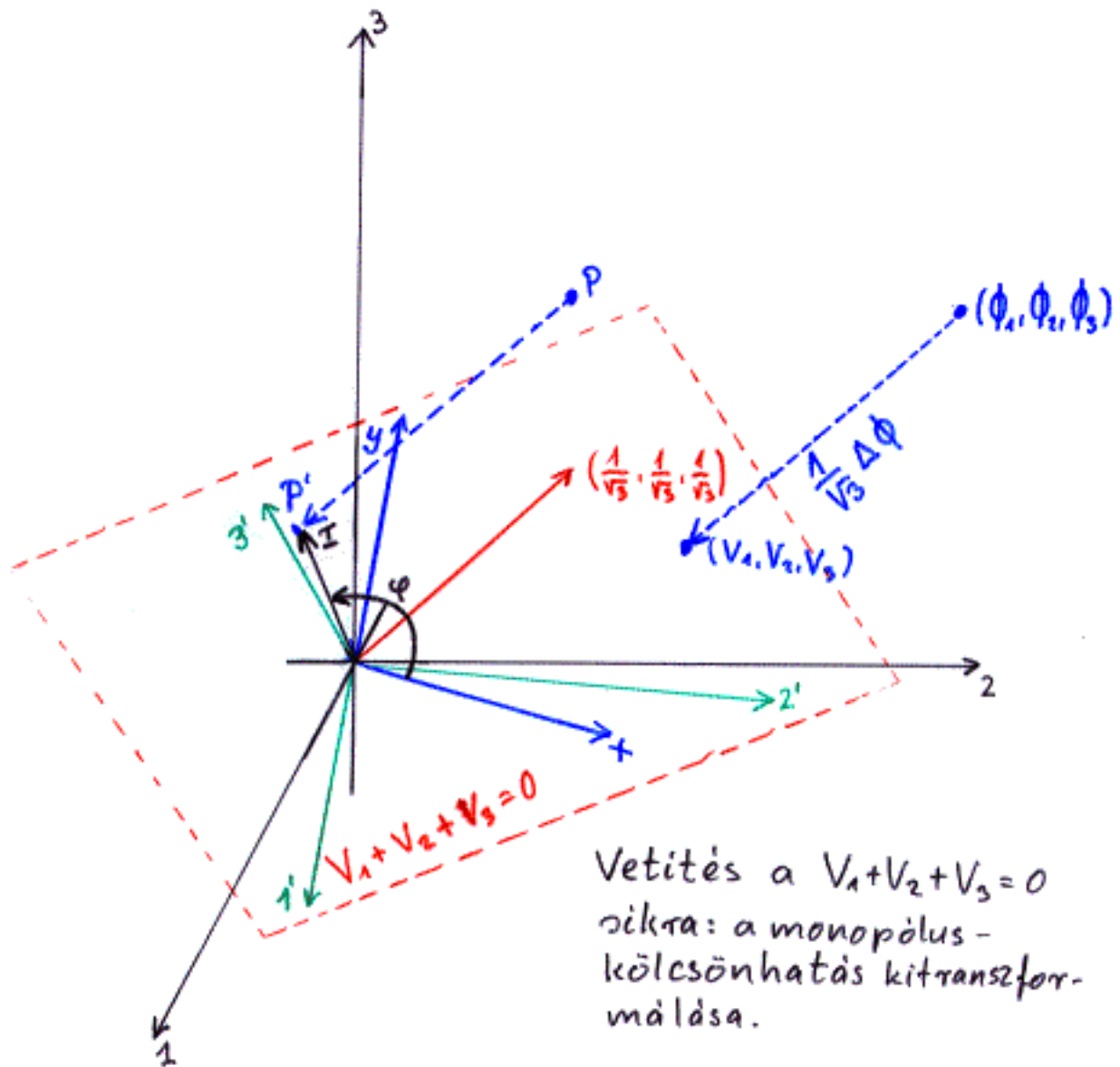
(kvadrupólus-felhasadás
 $1/2 \rightarrow 3/2$ átmenet esetén)

$$P(V_{zz}, \eta)$$

A gyakorlatban szinte mindenki ezeket használja.

A megoldás (G. Czjzek, 1983): a (V_1, V_2, V_3) -teret a $V_1 + V_2 + V_3 = 0$ síkra kell vetíteni.

Az 1, 2, 3 tengelyek egyenértékűek



A sík egy P' pontját az (x, y) derékszögű vagy az (r, φ) polárkoordinátákkal jellemezzük.

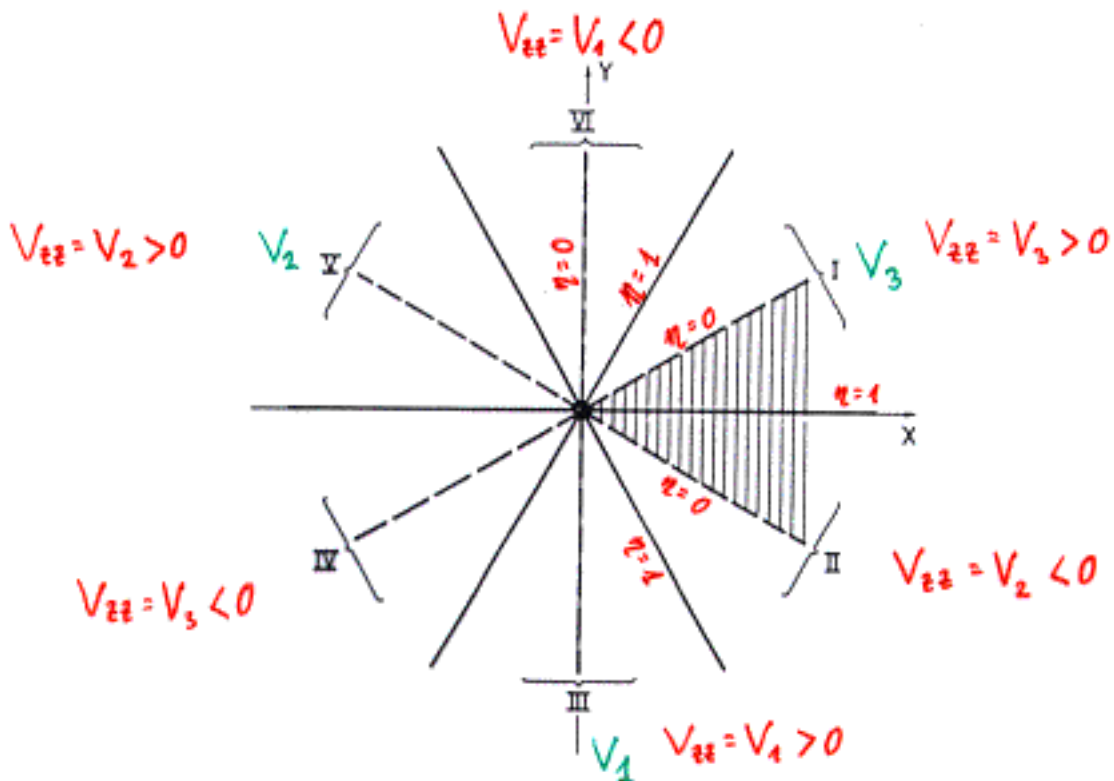


Fig.2. General view of the plane $V_1 + V_2 + V_3 = 0$ in the (V_1, V_2, V_3) -parameter space. Heavy lines correspond to $\eta = 1$ ($V_1 = 0$), dashed lines correspond to $\eta = 0$. See text for the meaning of sectors I through VI. The hatched sector contains all physical parameter values $-\infty < V_{zz} < \infty$, $0 \leq \eta \leq 1$.

$$V_1 = -y$$

$$V_2 = -\frac{1}{2}(\sqrt{3}x - y)$$

$$V_3 = \frac{1}{2}(\sqrt{3}x + y)$$

Egy alkalmasan választott 60° -os szektorban valamennyi, egymástól fizikailag lényegesen különböző esetet megtaláljuk.

Table 1

Expressions for the parameters v_{zz}, η in terms of cartesian coordinates (x, y) and of polar coordinates (r, ϕ) in the presentation of the (v_{zz}, η) -plane shown in fig.3.

$v_{zz} < 0$	$v_{zz} > 0$
$v_{zz} = -\frac{1}{2}(\sqrt{3}x - y)$ $= -r \cos\left(\frac{1}{6}\pi + \phi\right)$	$v_{zz} = \frac{1}{2}(\sqrt{3}x + y)$ $= r \cos\left(\frac{1}{6}\pi - \phi\right)$
$\eta = \sqrt{3}(x + \sqrt{3}y) / (\sqrt{3}x - y)$ $= \sqrt{3} \tan\left(\frac{1}{6}\pi + \phi\right)$	$\eta = \sqrt{3}(x - \sqrt{3}y) / (\sqrt{3}x + y)$ $= \sqrt{3} \tan\left(\frac{1}{6}\pi - \phi\right)$

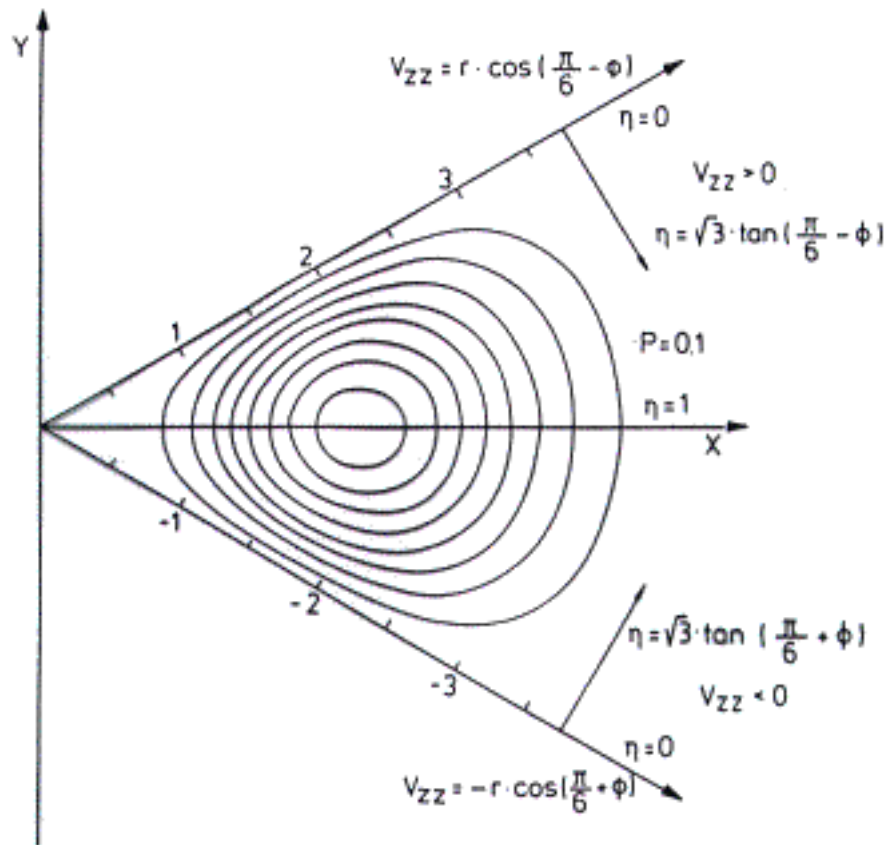


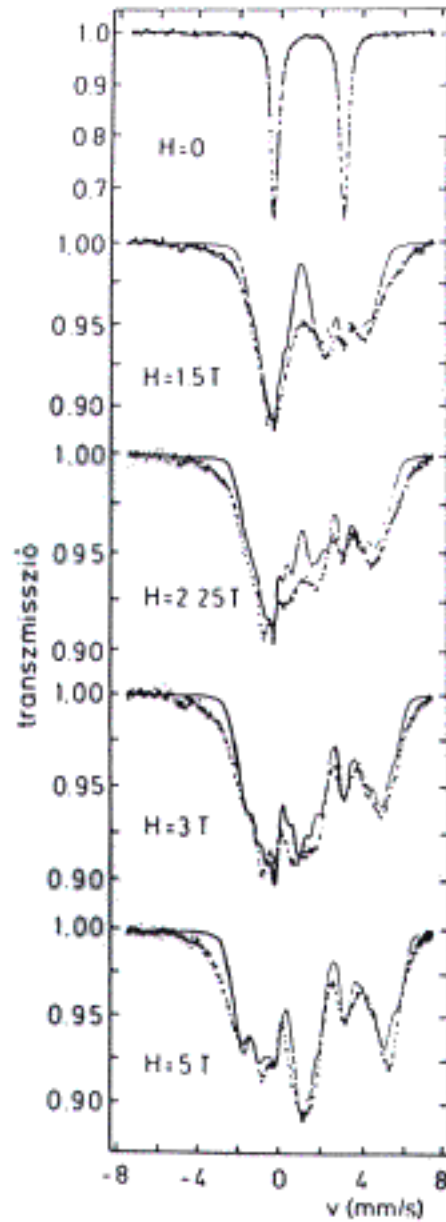
Fig.3. Same as fig.1. Presentation as specified in the text and in table 1.

Tenzorinvariánsok:

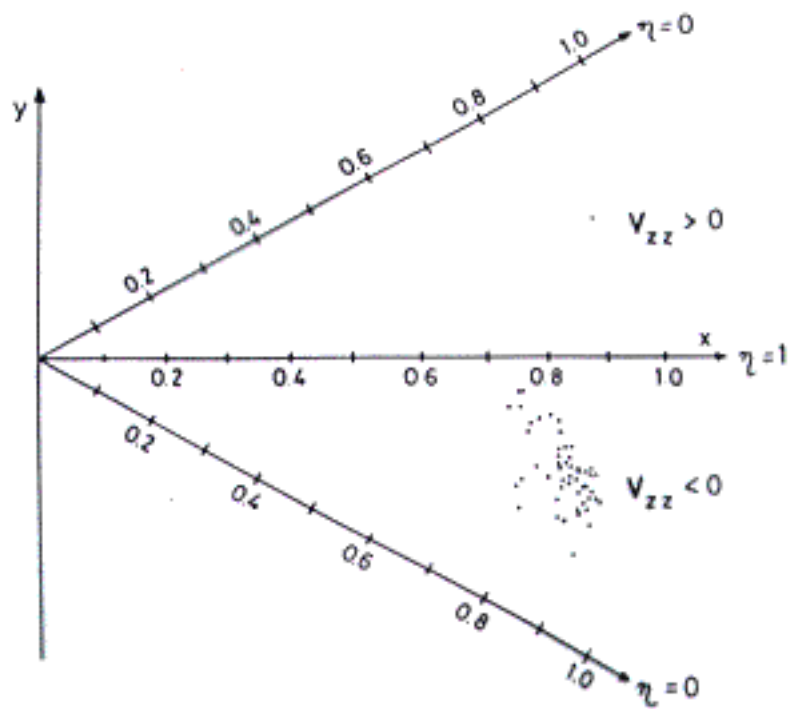
$$S = \frac{2}{3} \sum_{\alpha\beta} V_{\alpha\beta}^2 = V_{zz}^2 \left(1 + \frac{1}{3} \eta^2\right) = r^2$$

$$D = 4 \det(V_{\alpha\beta}) = V_{zz}^3 (1 - \eta^2) = r^3 \sin(3\varphi)$$

Az $1/2 \rightarrow 3/2$ kvadrupólus-felhasadás $\sim r$



3.2 ábra: Fe(ClO₄)₂ eutektikus koncentrációjú lefagyasztott vízes oldatnak Mössbauer-spektruma 4.2 K-en, különböző longitudinális mágneses terekben. A folyamatos görbék a C_{2h} -T-modellben számított spektrumok ($L_T \epsilon_0 = 950 \text{ cm}^{-1}$, $L_T \epsilon_1 = 0$, $L_T \epsilon_2 = 150 \text{ cm}^{-1}$).



3.3 ábra: Az $Fe(ClO_4)_3$ lefagyasztott vizes oldata elektromos térgradiensének eloszlása egy "Csjszek-ábrán" [59].

